

## مطالعات تئوری بر روی ساختار هندسی، پیوند هیدروژنی و خصوصیات الکترونی لیگاند انامینون با حلقة ۴-هیدروکسی-۲-متیل-۲-پیران و کمپلکس دو هسته ای مولیبدن

### با این لیگاند با روش های تئوری تابع چگال (DFT) و هارتی فاک (HF)

محبوبه محدث زاده<sup>\*</sup>، حسنعلی زمانی و بهزاد پدیداران مقدم

دانشگاه آزاد اسلامی، واحد قوچان، گروه شیمی کاربردی، قوچان، ایران

تاریخ پذیرش: ۹۲/۰۹/۱۱

تاریخ تصحیح: ۹۲/۰۸/۳۰

تاریخ دریافت: ۹۲/۰۶/۱۴

چکیده:

در این پژوهش مطالعات تئوری بر روی پارامترهای هندسی، پیوند هیدروژنی و خواص الکترونی لیگاند انامینون حاوی حلقة پیران [C<sub>40</sub>H<sub>44</sub>Mo<sub>2</sub>N<sub>2</sub>O<sub>20</sub>] با این لیگاند با روش های تئوری تابع چگال و هارتی فاک انجام پذیرفت، این محاسبات با روش های B3LYP, BPV86, B3PW91 و HF با استفاده از سری پایه های 6-311G\*, 6-311G\*\*, 6-311G\*\*\*, 6-311++G\*\*\* و LanL2DZ صورت گرفت. برای بررسی اثر توابع و سری های پایه بر پارامتر های هندسی، کمیت های SError و RSquare محاسبه گردید که با مقایسه پارامترهای تئوری و تجربی مشخص شد، روش های DFT نسبت به HF از همبستگی بالاتری با مقادیر تجربی بخوددار هستند همچنین با بررسی خصوصیات الکترونی ترکیبات: درصد مشارکت اوربیتال های مولکولی، بار الکتریکی اتم ها، انرژی پایداری حاصل از پیوند هیدروژنی و انرژی اوربیتال های HOMO و LUMO مشخص شد. واژگان کلیدی: پارامترهای هندسی، پیوند هیدروژنی، خواص الکترونی، هارتی فاک، تئوری تابعی چگال.

#### ۱- مقدمه:

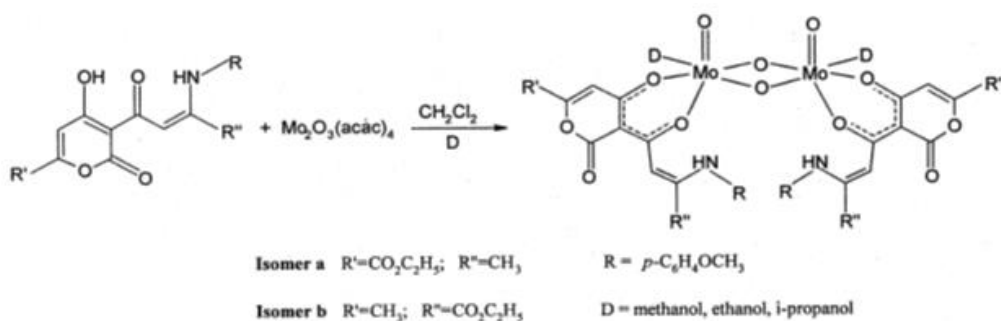
با استفاده از کامپیوتر کشف مولکول هایی که در آزمایشگاه های تحقیقاتی غیر عملی و غیر ممکن بود میسر گشت، از شیمی محاسباتی می توان به عنوان علمی نوپا یاد کرد، علمی که پایه های آن در اوایل قرن بیستم بنا نهاده شده و از ویژگی های آن در سالهای اخیر می توان به استفاده از کامپیوتراها با سرعت بالا جهت محاسبات در کمترین زمان اشاره داشت. این علم بر اساس محاسبات کوانتمی پایه ریزی شده است. روش میدان خود سازگار هارتی-فاک (HF-SCF) اولین روش محاسبات آغازین است، در این روش از معادله شرودینگر غیر وابسته به زمان استفاده می شود، این روش جواب هایی را برای معادله شرودینگر فراهم می کند که در آنها برهمنکنش های واقعی الکترون - الکترون به صورت متوسط در نظر گرفته شده است [۱]. بر خلاف روش HF روش های تئوری تابع چگال (DFT) همبستگی الکترون را از طریق تابع عمومی دانسیته الکترون محاسبه می کنند، و صحت نتایج معمولاً در روش DFT نسبت به HF بالاتر می باشد محدودیت DFT در انتخاب

تابع است، در زمان حاضر هیچ روش سیستماتیکی برای انتخاب تابع وجود ندارد و اکثر آن را از روش مقایسه‌ی دقیق با تجربه بدست می‌آورند. در این نظریه، انرژی کل سیستم ( $E_{\text{total}}$ ) به عنوان تابعی از دانسیتی‌های بار تعریف می‌شود [۲].

## ۲-بخش تجربی:

### ۱-۲- بررسی تجربی ساختار کمپلکس دو هسته‌ای مولیبدن $[C_{40}H_{44}Mo_2N_2O_{20}]$ :

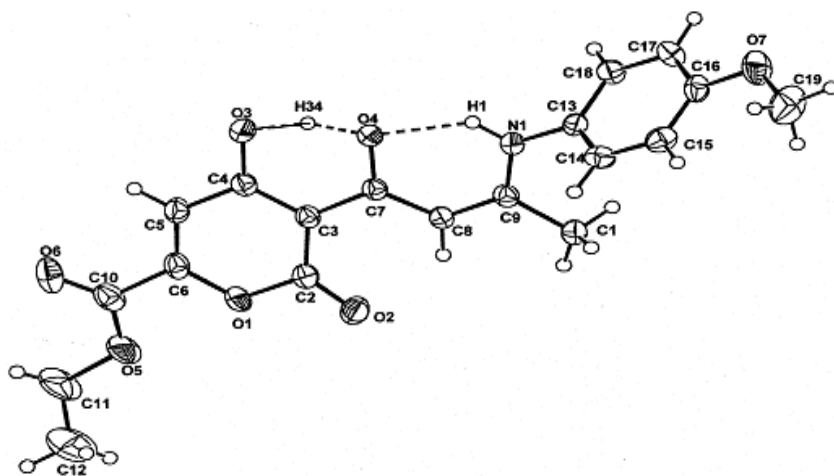
کمپلکس‌های فلزی دارای مشتقات ۲-پیران در شیمی غیر آلی و کوئردینانسیون مورد توجه می‌باشند. گرچه تعداد زیادی از کمپلکس‌های مولیبدنیم پنج ظرفیتی شناخته شده است، ولی تعداد کمی از این کمپلکس‌ها دارای مشتقات انانمینون سنتز شده‌اند. با توجه به شکل (۱) این ترکیب دو هسته‌ای با واکنش  $[Mo_2O_3(\text{acac})_4]$  (acac = استیل استونات) با لیگاند های پلی دنات،  $\beta$ -هیدرکسی- $\beta$ -انامینون تهیه شده است. کلیه ترکیبات از نوع جامد بلوری و به رنگ نارنجی با ساختار بلوری مونو کلینیک بودند. این ترکیبات با لیگاند انانمینون از طریق اتم‌های اکسیژن مشابه  $\beta$ -دی‌کتونات‌ها ترکیب کئور دینانسی دارند، کوئردینانسی هشت ضلعی در اطراف اتم‌های مولیبدنیم با مولکول‌های حلal تک دندانه (متانول، اتانول، پروپانول) تکمیل می‌شود [۳].



شکل ۱. تشکیل کمپلکس دو هسته‌ای مولیبدن با لیگاند انانمینون.

### ۲-۲- بررسی تجربی ساختار لیگاند انانمینون $[C_{19}H_{19}O_7N]$ :

واژه لیگاند پذیرنده‌ی دو هسته اولین بار در مورد برخی لیگاند‌های چند دندانه که توانایی پذیرش دو فلز را داشتند، بکار رفت. این نوع لیگاندها شامل دو بخش همسان یا ناهمسان می‌باشند و می‌توانند دو فلز باردار و یا خنثی یکسان و یا متفاوت را به صورت گزینشی، تشخیص دهنده و بدین ترتیب ساخت ترکیبات ویژه را ممکن می‌سازند. با توجه به شکل (۲) لیگاند انانمینون مورد بررسی در این پژوهش، از سه بخش تشکیل شده است: حلقه پیران، بخش انانمینون در مرکز مولکول، نیتروژن حاوی حلقه فنیل با گروه متوكسی [۴]. ایزومر در حالت بلوری به فرم انانمین با ساختار بلوری مونوکلینیک و به رنگ قرمز می‌باشد طول پیوندها و زاویه حلقه فنیل گروه کربونیل و نیز حلقه پیران در حدود قابل انتظار است. کلیه پروتون‌های O...H در پیوند هیدروژنی شرکت می‌کنند [۵].



شکل ۲. ساختار لیگاند انامینون با حلقه ۴-هیدروکسی ۶-متیل ۲-پیران.

### ۳-۲ روش مطالعات تئوری:

ابتدا ترکیبات با بکارگیری توابع و سری پایه های متفاوت بهینه شدند، پس از اطمینان از بهینه بودن ساختار و تعیین مینیمم انرژی کل، پارامتر های هندسی ساختار بهینه شده تعیین و در ادامه خصوصیات الکترونی ترکیب با آنالیز جمعیتی مولکلین و محاسبات NBO<sup>۱</sup> مورد مطالعه قرار گرفت. این محاسبات با کمک نرم افزار گوسین (Gaussian09w) انجام گرفت، از نرم افزار گوس ویو (Gauss view5.0) برای رسم ساختار ترکیبات استفاده شد. برای برآورد میزان خطا بین داده های تئوری و تجربی، کمیت های SError و RSquare محاسبه شد. توابع و سری پایه های استفاده شده به قرار زیر است:

توابع: B3LYP, BPV86, B3PW91, HF

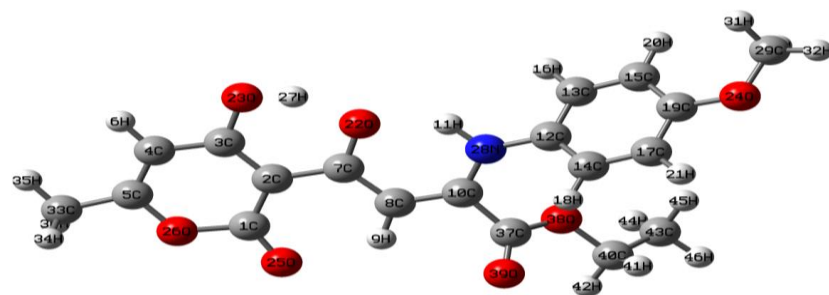
سری پایه ها: لیگاند: 6-311G, 6-311G\*\*, 6-311++G\*\*

کمپلکس: LANL2DZ (for Mo's) + 6-311G (for others)

### ۴-۲- بهینه سازی و تعیین پارامتر های هندسی ساختار لیگاند انامینون:

شکل ۳ ساختار بهینه شده لیگاند انامینون را نشان می دهد این ترکیب با استفاده از روش هارتی فاک (HF) و تئوری تابع چگال (DFT) با استفاده از چهار تابع و سه سری پایه مجموعاً ۱۲ روش بهینه و پارامتر های هندسی محاسبه شده با داده های تجربی که از کریستالوگرافی تک بلور اشعه ایکس بدست آمده با کمک تست SError و RSquare مقایسه شد.

<sup>1</sup>Natural Bond Orbital



شکل ۳. ساختار بهینه شده لیگاند آنامینون.

جدول ۱. اثر توابع و سری های پایه بر طول پیوندی لیگاند آنامینون

Method	B3LYP			BPV86			B3PW91			HF			EXP
Bond lengths(Å)	A	B	C	A	B	C	A	B	C	A	B	C	
H-N	1.025	1.021	1.022	1.041	1.036	1.037	1.027	1.023	1.023	0.996	0.996	0.997	0.872
N-C <sub>10</sub>	1.356	1.351	1.349	1.364	1.358	1.356	1.351	1.346	1.345	1.344	1.342	1.340	1.333
C <sub>10</sub> -C <sub>8</sub>	1.385	1.378	1.379	1.396	1.389	1.390	1.383	1.376	1.377	1.362	1.356	1.358	1.384
C <sub>8</sub> -C <sub>7</sub>	1.424	1.433	1.430	1.425	1.432	1.430	1.419	1.428	1.426	1.43	1.445	1.443	1.4
N-O	2.616	2.650	2.647	2.603	2.636	2.632	2.597	2.634	2.631	2.652	2.694	2.690	2.711
C <sub>7</sub> -O	1.316	1.277	1.280	1.338	1.298	1.301	1.315	1.277	1.279	1.271	1.233	1.234	1.297
O <sub>22</sub> ...N	1.775	1.829	1.828	1.727	1.779	1.777	1.749	1.808	1.805	1.892	1.952	1.948	2.033
C <sub>7</sub> -C <sub>2</sub>	1.467	1.471	1.472	1.466	1.469	1.469	1.461	1.465	1.465	1.468	1.479	1.48	1.464
C <sub>2</sub> -C <sub>3</sub>	1.41	1.408	1.407	1.425	1.421	1.421	1.408	1.407	1.406	1.406	1.385	1.385	1.395
C <sub>3</sub> -O	1.343	1.314	1.316	1.35	1.32	1.322	1.337	1.307	1.309	1.324	1.297	1.298	1.306
O-H	1.025	1.017	1.018	1.068	1.054	1.055	1.033	1.026	1.026	0.967	0.965	0.965	1.247
O <sub>23</sub> -O <sub>22</sub>	2.459	2.455	2.456	2.443	2.436	2.437	2.439	2.432	2.433	2.489	2.496	2.498	2.401
H <sub>27</sub> ...O <sub>22</sub>	1.53	1.511	1.514	1.45	1.44	1.441	1.495	1.472	1.473	1.674	1.643	1.646	1.201
RSquare	0.9198	0.9317	0.931	0.931	0.9417	0.9413	0.9240	0.9379	0.937	0.893	0.907	0.905	
SError	0.142	0.134	0.134	0.128	0.120	0.120	0.136	0.126	0.126	0.173	0.166	0.167	
Basic series : A:6-311G      B:6-311G**      C:6-311++G**													

جدول ۲. اثر توابع و سری های پایه بر زوایای پیوندی لیگاند آنامینون

Method	B3LYP			BPV86			B3PW91			HF			Exp
Angles (°)	A	B	C	A	B	C	A	B	C	A	B	C	
C <sub>7</sub> -O...H	104.81	104.98	105.11	104.49	104.62	104.75	104.91	105.06	105.18	105.89	106.06	106.08	100.80
O...H-N	136.55	134.74	134.48	138.81	137.13	136.94	137.10	135.16	134.99	130.78	129.04	129.03	133.87
H-N-C <sub>10</sub>	112.13	112.34	112.54	111.26	111.41	111.57	111.92	112.18	112.33	114.46	114.61	114.69	115.15
C <sub>3</sub> -O-H	107.53	104.95	105.19	105.49	103.36	103.55	106.95	104.25	104.43	112.06	108.09	108.27	100.31
H...O-C <sub>7</sub>	105.94	104.41	104.59	105.20	103.75	103.91	105.84	104.19	104.31	107.79	105.77	105.86	104.94
C <sub>19</sub> -O <sub>24</sub> -C <sub>29</sub>	119.95	118.48	118.60	118.05	117.60	117.73	118.85	118.14	118.25	121.43	119.91	120.01	116.80
C <sub>10</sub> -C <sub>37</sub> -O <sub>39</sub>	124.49	124.01	124.00	124.65	124.14	124.17	124.46	123.97	123.99	124.15	123.60	123.49	111.56
O <sub>38</sub> -C <sub>37</sub> -O <sub>39</sub>	123.93	124.98	125.05	124.10	125.04	125.10	124.00	125.08	125.13	123.98	125.30	125.35	126.24
C <sub>2</sub> -C <sub>1</sub> -O <sub>25</sub>	129.84	129.74	129.47	130.51	130.32	130.04	129.70	129.61	129.38	128.56	128.45	128.24	128.37
O <sub>26</sub> -C <sub>5</sub> -C <sub>33</sub>	112.46	112.51	112.57	112.38	112.49	112.54	112.44	112.49	112.55	112.38	112.26	112.31	114.56
RSquare	0.8237	0.8509	0.8511	0.8307	0.853	0.853	0.827	0.8537	0.8533	0.7725	0.8119	0.8208	
SError	4.83	4.48	4.42	5.14	4.81	4.76	4.84	4.51	4.47	4.43	4.11	4.06	
Basic series : A:6-311G      B:6-311G**      C:6-311++G**													

با توجه به جدول ۱ و ۲ و مقایسه پارامترهای هندسی حاصل از محاسبات بهینه سازی ساختار در هر دو روش HF و DFT

با مقادیر تجربی با کمک تست SError و RSquare موید این مطلب بود که در محاسبات طول پیوند، روش BPV86 با سری

پایه  $6-311G^{**}$  و در محاسبات زوایایی پیوندی روش B3PW91 با سری پایه  $6-311G^{**}$  بهترین نتایج را در مقایسه با مقادیر تجربی به همراه داشتند و روش HF با سری پایه  $6-311G$  بیشترین انحراف را نسبت به مقادیر تجربی برای هر دو پارامتر هندسی ایجاد کرد. یکی از ویژگی‌های مهم روش تابع چگال در نظر گرفتن اثر همبستگی الکترونی در محاسبات است، در حالی که در محاسبات به روش هارتی فاک این اثر در نظر گرفته نشده و دافعه بین الکترون‌ها به صورت تقریبی یعنی دافعه یک الکترون با دانسیته الکترونی متوسط حاصل از سایر الکترون‌ها محاسبه می‌شود، بنابراین در این روش انرژی دافعه کمتر بوده و در نتیجه طول پیوندها کوتاه‌تر به دست می‌آید [۷، ۶]. جدول (۳) صحت روش‌های تئوری در محاسبات پارامترهای هندسی لیگاند را در مقایسه با مقادیر تجربی مشخص می‌کند.

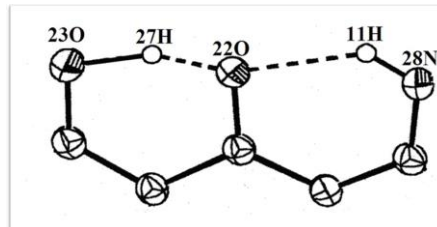
جدول ۳. مقایسه روش‌های محاسباتی پارامترهای هندسی

**Bond lengths**

BPV86(B)>BPV86(C)>B3PW91(B)>B3PW91(C)>B3LYP(B)>BPV86(A)>
B3LYP(C)>B3PW91(A)>B3LYP(A)>HF(B)>HF(C)>HF(A)

**Bond Angles**

B3PW91(B)>B3PW91(C)>BPV86(C)>BPV86(B)>B3LYP(C)>B3LYP(B)>
BPV86(A)>B3PW91(A)>B3LYP(A)>HF(C)>HF(B)>HF(A)

**۵-۲- بررسی پیوند هیدروژنی به کمک پارامترهای هندسی در لیگاند آنامینون:**

شکل ۴. پیوند هیدروژنی درون مولکولی در لیگاندانامینون.

شکل (۴) پیوندهای هیدروژنی درون مولکولی در لیگاندانامینون را نمایش می‌دهد پیوند هیدروژنی درون مولکولی از نظر ساختمانی توسط پارامترهای زیر مشخص می‌گردد: (A) دهنده پیوند هیدروژنی B گیرنده پیوند هیدروژنی) هر چه فاصله بین دو اتم الکترونگاتیو (A...B) و طول پیوند هیدروژنی (B...H) کمتر همچنین طول پیوند (A-H) بیشتر و زاویه پیوند (AHB) به  $180^\circ$  نزدیک تر باشد، پیوند هیدروژنی قویتر می‌باشد [۸، ۹].

جدول ۴. پارامترهای هندسی موثر در پیوند هیدروژنی لیگاندانامینون

Geom Data	O...H-N	O...H-O
N-O,O-O	2.63	2.43
O...H,O...H	1.77	1.44
N-H,O-H	1.03	1.05
O...H-N,O-H...O	137	154

فاصله‌ی دو اتم الکترونگاتیو (R(A)...B) را می‌توان به صورت دقیق از روش‌های کوانتمی محاسبه نمود و اغلب به عنوان BPV86 تنها مشخصه ساختمانی پیوند هیدروژنی درون مولکولی استفاده می‌شود. برای بررسی قدرت پیوند هیدروژنی از روش BPV86 وسری پایه 6-311G\*\* استفاده می‌کنیم با توجه به جدول (۴) طول پیوند O-O کمتر از طول پیوند N-O و طول پیوند O-H...O کمتر از طول پیوند H...H<sub>34</sub> می‌باشد همچنین طول پیوند O-H<sub>6</sub> از O<sub>3</sub>-H<sub>34</sub> بیشتر و رازوهه O-H-N...O کمتر از رازوهه O-H...O می‌باشد. با توجه به تمامی این نکات مشخص شد، پیوند هیدروژنی O-H...O نسبت به پیوند هیدروژنی O-H...O قویتر است.

## ۲-۶- بهینه سازی و تعیین پارامترهای هندسی ساختار کمپلکس دوهسته‌ای مولیبدن:

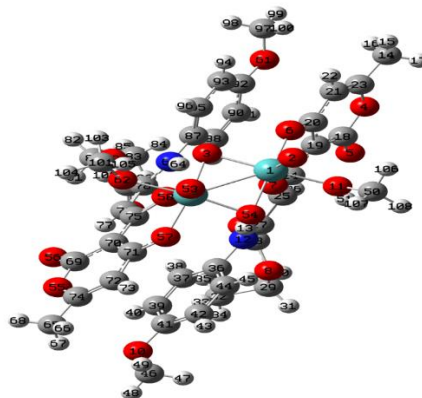
شکل (۵) ساختار بهینه شده کمپلکس را نشان می‌دهد برای بررسی پارامترهای هندسی، کمپلکس، با روش‌های هارتی فاک (HF) و تئوری تابع چگال (DFT) بهینه شد، جدول (۵) نتایج این محاسبات را نشان می‌دهد.

جدول ۵ اثر توابع و سری‌های پایه بر طول پیوندهای کمپلکس (Å).

Method	B3LYP	BPV86	B3PW91	HF	EXP
BasisSet	LANL2DZ (for Mo's) + 6-311G (for others)				
Mo-Mo	2.612	2.607	2.588	3.078	2.556
Mo <sub>52</sub> -O <sub>2</sub>	1.721	1.736	1.714	1.677	1.691
Mo <sub>52</sub> -O <sub>3</sub>	1.995	2.005	1.986	2.245	1.948
Mo <sub>52</sub> -O <sub>54</sub>	1.954	1.968	1.947	2.166	1.923
Mo <sub>52</sub> -O <sub>62</sub>	2.304	2.302	2.286	2.313	2.242
Mo <sub>52</sub> -O <sub>57</sub>	2.071	2.071	2.061	2.092	2.088
Mo <sub>52</sub> -O <sub>58</sub>	2.163	2.177	2.15	2.148	2.152
C <sub>20</sub> -O <sub>6</sub>	1.312	1.325	1.308	1.297	1.289
C <sub>18</sub> -O <sub>5</sub>	1.24	1.248	1.237	1.215	1.222
C <sub>24</sub> -O <sub>7</sub>	1.335	1.354	1.332	1.301	1.278
C <sub>27</sub> -N <sub>12</sub>	1.356	1.364	1.351	1.339	1.343
N <sub>12</sub> -C <sub>36</sub>	1.426	1.424	1.42	1.434	1.422
C <sub>28</sub> -O <sub>9</sub>	1.239	1.251	1.237	1.212	1.211
C <sub>28</sub> -O <sub>8</sub>	1.373	1.39	1.368	1.338	1.304
O <sub>8</sub> -C <sub>29</sub>	1.492	1.505	1.485	1.471	1.483
N <sub>12</sub> -H <sub>13</sub>	1.031	1.047	1.032	1.004	0.851
RSquare	0.9917	0.991	0.9918	0.9487	
SError	0.0434	0.0446	0.0427	0.1328	

انجام محاسبات بهینه سازی ساختار در هر دو روش و مقایسه پارامترهای هندسی با داده‌های تجربی طول پیوند که از روش‌های کریستالوگرافی تک بلور بدست آمده، موید این مطلب بود که در مجموع، داده‌های طول پیوند با استفاده از روش B3PW91 به مقادیر تجربی نزدیک‌تر است حال آنکه در روش HF میزان انحراف از داده‌های تجربی، بیشتر است. روند زیر مشخص کننده صحت روش‌های تئوری در مقایسه با مقادیر تجربی می‌باشد.

$$\text{B3PW91} > \text{B3LYP} > \text{BPV86} > \text{HF}$$



شکل ۵ ساختار بینه شده کمپلکس دوهسته ای مولیبدن با استفاده ازتابع B3LYP.

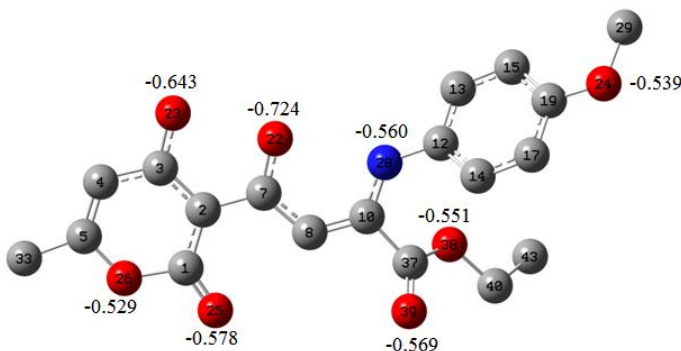
#### ۷-۲- اوربیتال‌های مولکولی و بار اتمی در ترکیب‌های مربوطه:

برای بررسی خصوصیات الکترونی از آنالیز جمعیتی مولیکلن استفاده شد. در روش‌های DFT به دلیل لحاظ کردن اثر همبستگی الکترونی در محاسبات، رفتار الکترون‌ها و خصوصیات ناشی از این رفتار‌ها به خوبی پیش‌بینی می‌شود، برای این هدف محاسبات NBO بر روی لیگاند با روش B3LYP در سری پایه 6-311++G\*\* و برای کمپلکس با روش B3LYP انجام گرفت [۱۰]. جداول شماره (۶) خلاصه‌ی بارهای اتمی مربوط به انواع اکسیژن‌ها و نیتروژن همچنین درصد مشارکت اوربیتال‌های اتمی در تشکیل اوربیتال‌های مولکولی را نشان می‌دهد، همچنین مقدار ابر الکترونی هر کدام از اوربیتال‌های مولکولی در داخل پرانتر مشخص شده است.

جدول ۶ نتایج محاسبات NBO برای لیگاند انامینون.

Atoms	Charge (C)	Natural Electron Configuration		
O <sub>22</sub>	-0.7249	[core]2S( 1.70)2p( 5.01)3p( 0.01)		
O <sub>23</sub>	-0.6439	[core]2S( 1.65)2p( 4.98)3p( 0.01)		
O <sub>24</sub>	-0.5397	[core]2S( 1.59)2p( 4.93)3p( 0.01)		
O <sub>25</sub>	-0.5786	[core]2S( 1.69)2p( 4.87)3p( 0.01)3d( 0.01)		
O <sub>26</sub>	-0.5292	[core]2S( 1.61)2p( 4.90)3p( 0.01)		
N <sub>28</sub>	-0.5602	[core]2S( 1.22)2p( 4.32)3p( 0.01)4p( 0.01)		
O <sub>38</sub>	-0.5511	[core]2S( 1.63)2p( 4.91)3p( 0.01)		
O <sub>39</sub>	-0.5699	[core]2S( 1.70)2p( 4.86)3d( 0.01)		
MOs	Atom	AOs		
		% s	% p	% d
BD H-N (1.97488)	H	99.91	0.09	0.00
	N	26.67	73.29	0.04
BD* H-N (0.04409)	H	99.91	0.09	0.00
	N	26.67	73.29	0.04
BD O-H (1.98249)	O	24.65	75.27	0.08
	H	99.73	0.27	0.00
BD* O-H (0.09967)	O	24.65	75.27	0.08
	H	99.73	0.27	0.00
LP1 O (1.95132)	O	56.13	47.86	0.02
LP2 O (1.84998)	O	5.78	94.19	0.03

## ۸-۲- توزیع بار الکتریکی با کمک محاسبات NBO در لیگاند:



شکل ۶ توزیع بار الکتریکی در لیگاند انامینون.

بار الکتریکی، در روش NBO معتبرتر از روش‌های دیگر می‌باشد. در این بخش با استفاده از نتایج محاسبات NBO به بررسی توزیع بار الکتریکی در اکسیژن‌های لیگاند می‌پردازیم.

۱. علت اختلاف بار روی  $\text{OMe}$  و  $\text{O}38$  به این خاطر می‌باشد که گروه  $\text{OMe}$  بر روی حلقه بنزن قرار گرفته و از آنجا که این حلقه مانند یک گروه کشنده می‌باشد گروه  $\text{OMe}$  از طریق رزونانس، الکترون دهنگی به حلقه دارد و همچنین حضور  $\text{NH}$  در موقعیت پارای این حلقه به عنوان یک اتم الکترونگاتیو سبب می‌شود که دانسیته‌ی الکترونی روی این اکسیژن کمتر شود (البته گروه آمینی نیز از طریق رزونانس دهنگی به حلقه دارد ولی در اینجا سیستم مزدوج که در سمت دیگر  $\text{NH}$  قرار دارد از کاهندگی آن می‌کاهد).

۲. در گروه  $\text{OEt}$ ، فقط رزونانسی که اکسیژن با گروه کربونیل دارد از دانسیته‌ی الکترونی روی این اکسیژن می‌کاهد (لازم به ذکر است که حضور سیستم مزدوج در سمت دیگر گروه کربونیل، آن را از سمت دیگر رزونانس می‌کند بنابراین  $\text{C=O}$  مانند یک کربونیل معمول استری دانسیته‌ی الکترونی را کاهش نمی‌دهد)، به همین خاطر دانسیته‌ی الکترونی روی اکسیژن گروه  $\text{OEt}$ ، نسبت به گروه  $\text{OMe}$  مقدار بیشتر و منفی تری است.

۳. علت کم شدن دانسیته‌ی الکترونی بر روی اکسیژن استری حلقه پیران به علت رزونانس از هر دو طرف هم با گروه کربونیل و هم با باند دوگانه می‌باشد و از طرف دیگر کشش زاویه‌ای حلقه نیز مقداری ناچیز در کاهش بار الکترونی دخیل می‌باشد این عوامل سبب می‌شود که دانسیته‌ی الکترونی روی این اکسیژن کمتر از اکسیژن‌های دیگر باشد.

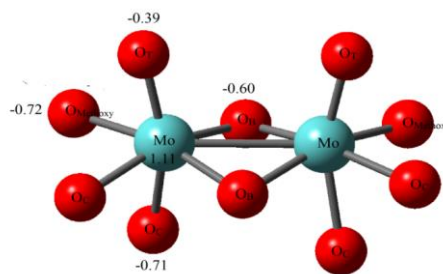
۴. بالا بودن دانسیته‌ی بار منفی بر روی  $\text{O}22$  به دلیل امکان تشکیل پیوندهای هیدروژنی و باند دوگانه‌ای که در مجاورت این گروه عاملی قرار دارد می‌باشد.

۵. علت تفاوت جزیی بین  $\text{C=O}$  استری خطی ( $\text{O}25$ ) و  $\text{C=O}$  استری حلقوی ( $\text{O}39$ ) می‌تواند به این علت باشد که کربونیل موجود در حلقه با کربونیل نزدیک خود یک سیستم ۱،۳-دی کربونیل تشکیل می‌دهد که این سیستم با فرم انولی

خود در حال تعادل است و در فرم انولی امکان پیوند هیدروژنی برای آن ایجاد می شود و به همین خاطر دانسیته‌ی بار روی این اکسیژن بیشتر از اکسیژن استری زنجیری می باشد.

#### ۹-۲- خصوصیات الکترونی کمپلکس با روش B3LYP در سری پایه LanL2DZ

جدول (۷) خلاصه بارهای اتمی مربوط به انواع اکسیژن‌ها، مولیبدن و نیتروژن و درصد مشارکت اوربیتالهای اتمی (AOs) در تشکیل اوربیتالهای مولکولی (MOs) را نشان می دهد، همچنین مقدار ابر الکترونی هر کدام از اوربیتال‌های مولکولی در داخل پراتز نشان داده است، همان طور که در شکل (۷) ملاحظه می شود بار اتمی روی اکسیژن‌ها مختلف با هم متفاوت است به طوری که روی اکسیژن‌ها بار منفی بیشتری متمرکز شده است و بار منفی روی اکسیژن‌ها انتهایی کمتر از سایر اکسیژن‌ها است، دانسیته‌ی بار روی اکسیژن‌ها با روند زیر کاهش می یابد.



شکل ۷. توزیع بار الکترونی در کمپلکس.

$$O_{Me} > O_C > O_B > O_T$$

با توجه به بار اتمی روی اتم‌های اکسیژن موجود در این ساختار، مقایسه طول پیوند‌های فلز - اکسیژن به صورت ذیل

خواهد بود:



جدول ۷. نتایج محاسبات NBO برای کمپلکس

Atoms	Charge	Natural Electron Configuration		
Mo <sub>1</sub>	1.1198	[core]5S( 0.19)4d( 4.17)5p( 0.17)5d( 0.07)6p( 0.33)		
O <sub>T</sub>	-0.3914	[core]2S( 1.79)2p( 4.60)		
O <sub>B</sub>	-0.6027	[core]2S( 1.74)2p( 4.86)3p( 0.01)		
O <sub>Cpirone</sub>	-0.5976	[core]2S( 1.63)2p( 4.95)3p( 0.01)		
O <sub>Cenamin</sub>	-0.7118	[core]2S( 1.66)2p( 5.04)3p( 0.01)		
O <sub>ET</sub>	-0.7207	[core]2S( 1.66)2p( 5.05)3p( 0.01)		
MOs	Atom	AOs		
		% s	% p	% d
BD Mo-Mo (1.42257)	Mo1	32.89	12.52	54.59
	Mo2	4.56	4.67	90.76
BD* Mo-Mo (0.33258)	Mo1	32.89	12.52	54.59
	Mo2	4.56	4.67	90.76
BD H-N (1.97250)	H	100.00	0.00	0.00
	N	28.14	71.86	0.00
BD* H-N (0.05260)	H	100.00	0.00	0.00
	N	28.14	71.86	0.00

## ۱۰-۲ - مقایسه قدرت پیوند هیدروژنی در لیگاند انانمینون به کمک جدول NBO:

جدول (۸) شامل اوربیتال‌های مولکولی پیوندی O-H و N-H که به صورت BD و ضد پیوندی O-H و N-H که به صورت LP<sub>2</sub>\* نشان داده شده است همچنین اوربیتال‌های غیر پیوندی اکسیژن درگیر در پیوند هیدروژنی که به صورت LP<sub>1</sub> و LP<sub>2</sub> نمایش داده شده می‌باشد، مقدار ابر الکترونی هر کدام از اوربیتال‌ها در داخل پرانتر مشخص شده است با توجه به نتایج محاسبات NBO مشخص شد پایداری حاصل از پیوند هیدروژنی O---H-N---O نسبت به پیوند O---H-N بیشتر می‌باشد.

جدول ۸ انرژی پایداری حاصل از پیوند هیدروژنی

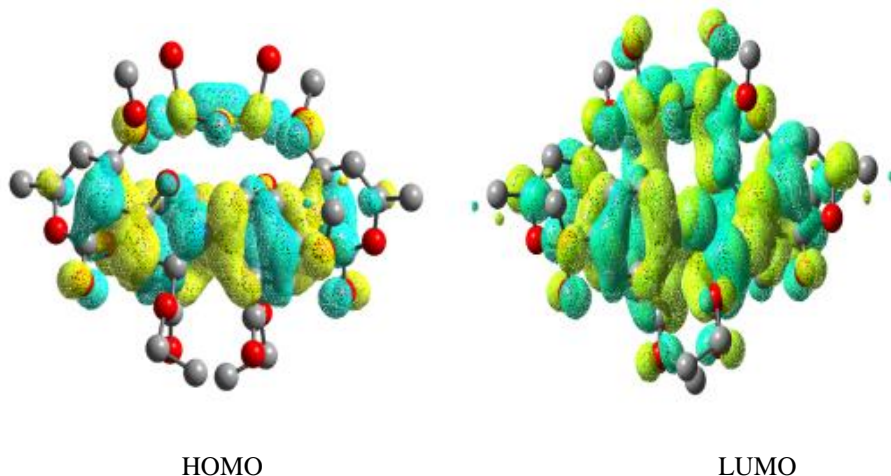
H Bond1 (O---H-N)	E (kcal/mol)
LP1 O (1.95132) ---> BD* N-H (0.04409)	7.00
LP2 O (1.84998) ---> BD* N-H (0.04409)	3.26
H Bond2 (O---H-O)	E(Kcal/mol)
LP1 O (1.95132) ---> BD* O-H (0.09968)	7.24
LP2 O (1.84998) ---> BD* O-H (0.09968)	41.40

## ۱۱-۲ - اوربیتال‌های HOMO-LUMO

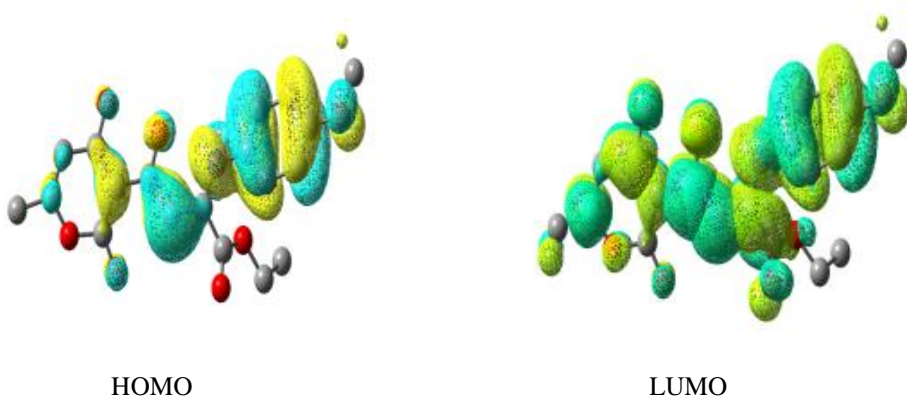
بر حسب سطح انرژی اوربیتال‌های مولکولی، بالاترین اوربیتال مولکولی دارای الکترون را HOMO و پایین‌ترین اوربیتال مولکولی فاقد الکترون را LUMO می‌نامند. اختلاف انرژی بزرگ‌تر، به معنای تراز انرژی HOMO پایین‌تر و تراز انرژی LUMO بالاتر است. جدول (۹) انرژی اوربیتال‌های HOMO-LUMO برای لیگاند انانمینون و کمپلکس دو هسته‌ای مولیبدن، همچنین مقدار E<sub>total</sub> این ترکیبات را نشان می‌دهد [۱۱، ۱۲]. با توجه شکل (۸) مشخص شد که چگالی الکترون در اوربیتال‌های مولکولی LUMO بیشتر روی اکسیژن‌های پایانی و در اوربیتال‌های HOMO بیشتر بر اتم مولیبدن و اکسیژن‌های پل متمرکز شده‌اند. در لیگاند، با توجه به شکل (۹) می‌توان متوجه شد که چگالی الکترون بر روی اتم نیتروژن در اوربیتال HOMO نسبت به اکسیژن بیشتر است ولی به علت وجود دافعه فضایی حلقه فنیل، لیگاند از طریق اکسیژن به فلز کثوردینه می‌شود.

جدول ۹: انرژی اوربیتال‌های LUMO-HOMO

B3LYP/6-311++G**, LanL2DZ	Ligand (ev)	Complex(ev)
E <sub>HOMO</sub>	-5.84	-5.59
E <sub>LUMO</sub>	-2.38	-2.64
Δ E <sub>HOMO-LUMO</sub>	3.46	2.95
E <sub>total</sub>	-35827.02	-89752.11



شکل ۸: اوربیتال HOMO-LUMO در کمپلکس.



شکل ۹: اوربیتال HOMO-LUMO در لیگاند.

**۳- نتیجه گیری:**

۱- مطالعه پارامترهای هندسی لیگاند موید این مطلب بود که در محاسبات طول پیوند، روش BPV86 با سری پایه 6-311G\*\* در محاسبات زوایایی پیوندی روش B3PW91 با سری پایه 6-311G\*\*\* بهترین نتایج را در مقایسه با مقادیر تجربی داشتند و همچنین به طور کلی روش‌های DFT نسبت به HF از صحت بالاتری در مقایسه با مقادیر تجربی برخوردار هندسی ایجاد کرد همچنین به طور کلی روش HF با سری پایه 6-311G بیشترین انحراف را نسبت به مقادیر تجربی برای هر دو پارامتر تجربی به همراه داشتند.

۲- با بررسی پارامترهای هندسی طول پیوند کمپلکس مشخص شد که روش HF روش مناسبی برای مطالعات تئوری این سری از ترکیبات نمی‌باشد با استفاده از تست‌های آماری روند زیر در مقایسه با مقادیر تجربی بدست آمد:

الف: مقایسه روش‌ها :

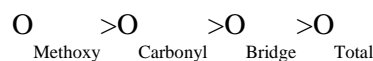
ب: مقایسه سری پایه:

۳- با بررسی پارامترهای هندسی طول پیوند کمپلکس مشخص شد که روش HF روش مناسبی برای مطالعات تئوری این سری از ترکیبات نمی‌باشد با استفاده از تست‌های آماری روند زیر در مقایسه با مقادیر تجربی بدست آمد:

**B3PW91 > B3LYP > BPV86 > HF**

۳- با کمک محاسبات NBO نتایج زیر حاصل شد: نحوه توزیع بار الکترویکی بر روی اتم‌ها همچنین درصد مشارکت اوربیتال‌های اتمی در تشکیل اوربیتال‌های مولکولی

با مقایسه دانسیته الکترونی اکسیژن‌های کمپلکس مشخص شد اکسیژن‌های انتهایی کمترین دانسیته باز را دارند.



با بررسی نتایج NBO در لیگاند، نتیجه گیری شدن از پیوند هیدروژنی O-H...O نسبت به H...O بیشتر است.

۴- اختلاف سطوح انرژی اوربیتال‌ها HOMO-LUMO، کمپلکس و لیگاند، همچنین انرژی تشکیل ساختار این ترکیبات محاسبه شد.

$$E_{\text{total(L)}} = -35827.02(\text{ev}) \quad E_{\text{total(L2M)}} = -89752.11(\text{ev})$$

#### ۴- مراجع:

- [1] B. Kingh, A. D. Fowler and P. W. Huston, *J. M. Chem. Rev.* **88** (1998) 963.
- [2] W. Koch and M. C. Holthausen, *Guide to Density Functional Theory*, **2** (2001) 3- 527.
- [3] M. Cindric, V. Vrdoja, N. Strukan, P. Novak and B. Kamenar, *Bull. Chem.* **328** (2004) 931.
- [4] M. Cindric, V. Vrdoja, T. Kajfez, P. Novak and A. B. Saranovic, *Struct. Chem.* **357** (2002) 23.
- [5] F. H. Allen, O. Kennard, D. G. Watson, L. Brammer, A. G. Orpen and R. J. Taylor, *J. Chem. Soc. Perkin Trans. 2* (1987) 1.
- [6] A. L. Balch, Y.W. Chan and M. M. Olmstead, *J. Am. Chem. Soc.* **107** (1985) 6510.
- [7] Y. Mizutani, Y. Watanabe and T. Kitagawa, *J. Am. Chem. Soc.* **116** (1994) 3439.
- [8] A. Novak, *Hydrogen Bonding in Solids*, Thijs, Paris. **18** (1974) 177-216.
- [9] G. Gilli, V. Bertolasi, V. Ferretti and P. Gilli, *Acta Crystallogr. Sect. E* **49** (1993) 564.
- [10] M. K. Subramanian and P. M. Ambaran, *Pramana J. Phys.* **74** (2010) 845.
- [11] A. Nitzan and M. A. Ratner, *Science*. **300** (2003) 1994.
- [12] J. Garza, J. A. Nichols and D. A. Dixon, *J. Chem. Phys.* **113** (2000) 6029.